Interazioni Elettrodeboli

prof. Francesco Ragusa Università di Milano

Lezione n. 15

28.11.2022

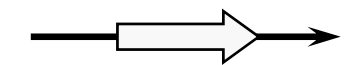
Polarizzazione nel decadimento β Esperimento di Frauenfelder Hamiltoniana del decadimento β Proiezioni chirali

anno accademico 2022-2023

· La polarizzazione degli elettroni è definita come

$$\wp = \frac{N_R - N_L}{N_R + N_L}$$

ullet Il numero degli elettroni Right-Handed è N_R



ullet Il numero degli elettroni Left-Handed è N_L



• I numeri N_R e N_L sono proporzionali alle larghezze di decadimento

$$N_{R,L}\,\sim \int d\Gamma_{R,L}$$

$$d\Gamma_{R,L} = rac{1}{2m_N} \overline{\left| rac{\mathfrak{M}^{R,L}}{}
ight|^2} d\Phi$$

ullet Come in precedenza l'elemento di matrice contiene interazioni S,V,A,T

$$\mathfrak{M}^{R,L} = \mathfrak{M}_S^{R,L} + \mathfrak{M}_V^{R,L} + \mathfrak{M}_A^{R,L} + \mathfrak{M}_T^{R,L}$$

$$\mathfrak{M}^{R,L} = \mathfrak{M}_S^{R,L} + \mathfrak{M}_V^{R,L} + \mathfrak{M}_A^{R,L} + \mathfrak{M}_T^{R,L}$$

- Rivediamo i singoli termini
 - Osserviamo in particolare la polarizzazione degli spinori dell'elettrone

• Scalare
$$\mathfrak{M}_{S}^{R,L}=C_{S}\left\langle 1
ight
angle \overline{u}_{e}\left(k,s_{R,L}
ight)\!\left(1+lpha_{S}\gamma^{5}
ight)\!v_{
u}\left(k'
ight)$$

• Vettoriale
$$\mathfrak{M}_{V}^{R,L}=C_{V}\left\langle 1
ight
angle \overline{u}_{e}\left(k,s_{R,L}
ight)\!\left(1+lpha_{V}\gamma^{5}
ight)\!\gamma^{0}v_{
u}\left(k'
ight)$$

• Vettoriale assiale
$$\mathfrak{M}_{A}^{R,L}=C_{A}\left\langle \sigma_{j}\right
angle \overline{u}_{e}\left(k,s_{R,L}\right)\left(1+lpha_{A}\gamma^{5}\right)\gamma^{5}\gamma^{j}v_{
u}\left(k'
ight)$$

• Tensoriale
$$\mathfrak{M}_{T}^{R,L}=2C_{T}\left\langle \sigma_{j}\right
angle \overline{u}_{e}\left(k,s_{R,L}\right) \left(1+lpha_{T}\gamma^{5}\right) \Sigma^{j}v_{
u}\left(k^{\prime}
ight)$$

- Il calcolo del quadrato del modulo procede in maniera analoga a quanto fatto precedentemente sommando su tutti gli stati di polarizzazione non osservati (n, p, ν)
 - Dato che sommiamo sulla polarizzazione iniziale (del neutrone) non ci sono termini di interferenza $SA,\,ST,\,VA,\,\mathrm{VT}$
 - Di nuovo abbiamo i due elementi di matrice di Fermi e di Gamov-Teller
 - Le somme sugli stati di polarizzazione si fanno con la tecnica delle tracce
 - La polarizzazione degli elettroni si introduce tramite i proiettori di spin
- L'elemento di matrice di Fermi è pertanto

$$\begin{array}{ccc}
 & & & & & \\
\Gamma & & & & \\
\hline
 & & & & \\
\hline
 & & \\
\hline
 & & &$$

$$\begin{split} \overline{\left|\mathfrak{M}_{F}^{R,L}\right|^{2}} &= C_{S}^{2} 2 m_{N}^{2} Tr \left[\left(\rlap{k} + m_{e} \right) \left(1 + \gamma^{5} \rlap{s}_{R,L} \right) \left(1 + \alpha_{S} \gamma^{5} \right) \rlap{k}' \left(1 - \alpha_{S} \gamma^{5} \right) \right] + \\ &+ C_{V}^{2} 2 m_{N}^{2} Tr \left[\left(\rlap{k} + m_{e} \right) \left(1 + \gamma^{5} \rlap{s}_{R,L} \right) \left(1 + \alpha_{V} \gamma^{5} \right) \gamma^{0} \rlap{k}' \left(1 + \alpha_{V} \gamma^{5} \right) \gamma^{0} \right] + \\ &+ 2 \operatorname{Re} \left[C_{S} C_{V} 2 m_{N}^{2} Tr \left[\left(\rlap{k} + m_{e} \right) \left(1 + \gamma^{5} \rlap{s}_{R,L} \right) \left(1 + \alpha_{S} \gamma^{5} \right) \rlap{k}' \left(1 + \alpha_{V} \gamma^{5} \right) \gamma^{0} \right] \right] \end{split}$$

- Occorre definire i vettori di polarizzazione
 - Il vettore s_R definisce una polarizzazione parallela alla direzione di moto: polarizzazione Right-Handed
 - Il vettore polarizzazione ξ (nel sistema di riposo) è parallelo a p ($|\xi|=1$)

$$s^0 = \frac{\mathbf{k} \cdot \mathbf{\xi}}{m_e}$$

$$s_R^0 = \frac{\mathbf{k} \cdot \mathbf{\xi}}{m_e} = \frac{|\mathbf{k}|}{m_e}$$

$$\mathbf{s} = \mathbf{\xi} + \frac{(\mathbf{\xi} \cdot \mathbf{k})\mathbf{k}}{m_e(E_e + m_e)}$$

$$\mathbf{s} = \mathbf{\xi} + \frac{(\mathbf{\xi} \cdot \mathbf{k})\mathbf{k}}{m_e (E_e + m_e)} \qquad \mathbf{s}_R = \frac{\mathbf{k}}{|\mathbf{k}|} + \frac{|\mathbf{k}|\mathbf{k}}{m_e (E_e + m_e)} = \frac{m_e (E_e + m_e) + |\mathbf{k}|^2}{m_e (E_e + m_e)|\mathbf{k}|} \mathbf{k}$$

$$=rac{m_e E_e + E_e^2}{m_e \left(E_e + m_e
ight) |\mathbf{k}|} \mathbf{k} \ = rac{E_e \mathbf{k}}{m_e \left|\mathbf{k}
ight|}$$

$$s_R = \left(\frac{|\mathbf{k}|}{m_e}, \frac{E_e}{m_e} \frac{\mathbf{k}}{|\mathbf{k}|}\right)$$

• Il vettore s_L si ottiene semplicemente cambiando $\xi
ightarrow -\xi$ e quindi

$$s_L = -s_R$$

• Ricordiamo la definizione di polarizzazione

$$\wp = \frac{N_R - N_L}{N_R + N_L}$$

• Il numero di elettroni per le due polarizzazioni è dato da

$$N_{R,L} \, \sim \int d\Gamma_{R,L} \qquad d\Gamma_{R,L} \, = rac{1}{2m_N} \overline{\left| rac{\mathfrak{M}^{R,L}}{2}
ight|^2} d\Phi$$

- Pertanto la polarizzazione è data da
 - \bullet L'integrale sullo spazio delle fasi è su tutte le variabili cinematiche escluso ${\cal E}_e$
 - Vedremo che \wp dipende dall'energia
- · Calcoliamo il numeratore
 - · Ricordiamo che

$$\wp = \frac{\int \left(\overline{\left| \mathfrak{M}^R \right|^2} - \overline{\left| \mathfrak{M}^L \right|^2} \right) d\Phi}{\int \left(\overline{\left| \mathfrak{M}^R \right|^2} + \overline{\left| \mathfrak{M}^L \right|^2} \right) d\Phi}$$

$$\not s_L = -\not s_R \qquad \dots (\not X + \gamma^5 \not s_R) \dots - \dots (\not X + \gamma^5 \not s_L) \dots = 2\gamma^5 \not s_R$$

$$\begin{aligned} \left| \overline{\mathfrak{M}_{F}^{R}} \right|^{2} - \left| \overline{\mathfrak{M}_{F}^{L}} \right|^{2} &= C_{S}^{2} 2m_{N}^{2} Tr \left[\left(\cancel{k} + m_{e} \right) 2\gamma^{5} \cancel{s}_{R} \left(1 + \alpha_{S} \gamma^{5} \right) \cancel{k}' \left(1 - \alpha_{S} \gamma^{5} \right) \right] + \\ &+ C_{V}^{2} 2m_{N}^{2} Tr \left[\left(\cancel{k} + m_{e} \right) 2\gamma^{5} \cancel{s}_{R} \left(1 + \alpha_{V} \gamma^{5} \right) \gamma^{0} \cancel{k}' \left(1 + \alpha_{V} \gamma^{5} \right) \gamma^{0} \right] + \\ &+ 2 \operatorname{Re} \left[C_{S} C_{V} 2m_{N}^{2} Tr \left[\left(\cancel{k} + m_{e} \right) 2\gamma^{5} \cancel{s}_{R} \left(1 + \alpha_{S} \gamma^{5} \right) \cancel{k}' \left(1 + \alpha_{V} \gamma^{5} \right) \gamma^{0} \right] \right] \end{aligned}$$

Esaminiamo adesso un generico termine

commuta con k'

· Ad es. il termine scalare

$$\left|\overline{\left|\mathfrak{M}_{F}^{R}\right|^{2}}-\overline{\left|\mathfrak{M}_{F}^{L}\right|^{2}}
ight|^{2}=C_{S}^{2}2m_{N}^{2}Tr\left[\left(\cancel{k}+m_{e}
ight)2\gamma^{5}\cancel{s}_{R}\left(1+lpha_{S}\gamma^{5}
ight)\cancel{k}'\left(1-lpha_{S}\gamma^{5}
ight)
ight]$$

- Possiamo trasportare ($1-lpha_S\gamma^5$) a sinistra trasformandolo in ($1+lpha_S\gamma^5$)
 - Ricordiamo che $(\gamma^5)^2 = I$
 - Otteniamo pertanto $\left(1+lpha_S\gamma^5\,
 ight)^2=1+2lpha_S\gamma^5+lpha_S^2$
- Introduciamo questi risultati nel calcolo

$$\begin{split} \overline{\left|\mathfrak{M}_{F}^{R}\right|^{2}} - \overline{\left|\mathfrak{M}_{F}^{L}\right|^{2}} &= 4C_{S}^{2}m_{N}^{2}Tr\left[\left(\cancel{k} + m_{e}\right)\sqrt{^{5}}\cancel{s}_{R}\right)\left(1 + \alpha_{S}\gamma^{5}\right)^{2}\cancel{k}'\right] + \\ &+ 4C_{V}^{2}m_{N}^{2}Tr\left[\left(\cancel{k} + m_{e}\right)\sqrt{^{5}}\cancel{s}_{R}\right)\left(1 + \alpha_{V}\gamma^{5}\right)^{2}\gamma^{0}\cancel{k}'\gamma^{0}\right] + \\ &+ 8\operatorname{Re}\left[C_{S}C_{V}m_{N}^{2}Tr\left[\left(\cancel{k} + m_{e}\right)\sqrt{^{5}}\cancel{s}_{R}\right)\left(1 + \alpha_{S}\gamma^{5}\right)\left(1 - \alpha_{V}\gamma^{5}\right)\cancel{k}'\gamma^{0}\right]\right] \end{split}$$

• Possiamo ancora anticommutare $oldsymbol{\gamma}^5$ con $oldsymbol{\sharp}_R$

$$\gamma^{5} \left(1 + \alpha_{S,V} \gamma^{5} \right)^{2} = \gamma^{5} \left(1 + 2\alpha_{S,V} \gamma^{5} + \alpha_{S,V}^{2} \right) = \left(1 + \alpha_{S,V}^{2} \right) \gamma^{5} + 2\alpha_{S,V}$$

Per il terzo termine

$$\gamma^{5} (1 + \alpha_{S} \gamma^{5}) (1 - \alpha_{V} \gamma^{5}) = \gamma^{5} (1 - \alpha_{V} \gamma^{5} + \alpha_{S} \gamma^{5} - \alpha_{S} \alpha_{V})$$

$$= \gamma^{5} (1 - \alpha_{S} \alpha_{V}) + \gamma^{5} (\alpha_{S} - \alpha_{V}) \gamma^{5} = (1 - \alpha_{S} \alpha_{V}) \gamma^{5} + (\alpha_{S} - \alpha_{V})$$

Introducendo nell'espressione

$$\overline{\left|\mathfrak{M}_{F}^{R}\right|^{2}} - \overline{\left|\mathfrak{M}_{F}^{L}\right|^{2}} = -4C_{S}^{2}m_{N}^{2}Tr\left[\left(\cancel{k} + m_{e}\right)\cancel{s}_{R}\left(\left(1 + \alpha_{S}^{2}\right)\gamma^{5} + 2\alpha_{S}\right)\cancel{k}'\right] + \\
-4C_{V}^{2}m_{N}^{2}Tr\left[\left(\cancel{k} + m_{e}\right)\cancel{s}_{R}\left(\left(1 + \alpha_{V}^{2}\right)\gamma^{5} + 2\alpha_{V}\right)\gamma^{0}\cancel{k}'\gamma^{0}\right] + \\
-8\operatorname{Re}\left[C_{S}C_{V}m_{N}^{2}Tr\left[\left(\cancel{k} + m_{e}\right)\cancel{s}_{R}\left(\left(1 - \alpha_{S}\alpha_{V}\right)\gamma^{5} + (\alpha_{S} - \alpha_{V})\right)\cancel{k}'\gamma^{0}\right]\right]$$

• E finalmente

$$\begin{array}{ccc} & & & \\$$

$$\begin{split} \overline{\left|\mathfrak{M}_{F}^{R}\right|^{2}} - \overline{\left|\mathfrak{M}_{F}^{L}\right|^{2}} &= -4C_{S}^{2}m_{N}^{2}Tr\big[2\alpha_{S}m_{e}\rlap{/}s_{R}\rlap{/}k'\big] - 4C_{V}^{2}m_{N}^{2}Tr\big[2\alpha_{S}m_{e}\rlap{/}s_{R}\gamma^{0}\rlap{/}k'\gamma^{0}\big] - \\ &- 8\operatorname{Re}\big[C_{S}C_{V}m_{N}^{2}Tr\big[(1-\alpha_{S}\alpha_{V})\gamma^{5}\rlap{/}k\rlap{/}s_{R}\rlap{/}k'\gamma^{0} + (\alpha_{S}-\alpha_{V})\rlap{/}k\rlap{/}s_{R}\rlap{/}k'\gamma^{0}\big]\big] \end{split}$$

• Siamo quasi alla fine !!!

$$\begin{split} \overline{\left|\mathfrak{M}_{F}^{R}\right|^{2}} - \overline{\left|\mathfrak{M}_{F}^{L}\right|^{2}} &= -4C_{S}^{2}m_{N}^{2}Tr\big[2\alpha_{S}m_{e}\rlap{/}s_{R}\rlap{/}k'\big] - 4C_{V}^{2}m_{N}^{2}Tr\big[2\alpha_{V}m_{e}\rlap{/}s_{R}\gamma^{0}\rlap{/}k'\gamma^{0}\big] - \\ &- 8\operatorname{Re}\big[C_{S}C_{V}m_{N}^{2}Tr\big[(1-\alpha_{S}\alpha_{V})\sqrt{5}\rlap{/}k\rlap{/}s_{R}\rlap{/}k'\gamma^{0} + (\alpha_{S}-\alpha_{V})\rlap{/}k\rlap{/}s_{R}\rlap{/}k'\gamma^{0}\big]\big] \\ \overline{\left[Tr\big(\rlap{/}\mu\rlap{/}b\rlap{/}e\rlap{/}b\big)} &= 4\big[(a\cdot b)(c\cdot d) - (a\cdot c)(b\cdot d) + (a\cdot d)(b\cdot c)\big] \\ \overline{\left[Tr\big(\gamma^{\mu}\gamma^{\nu}\gamma^{\alpha}\gamma^{\beta}\gamma^{5}\big)} &= 4i\varepsilon^{\mu,\nu,\alpha,\beta} \right]} \overline{\left[\operatorname{Re}\big[4i\varepsilon^{\mu,\nu,\alpha,0}k_{\mu}\left(s_{R}\right)_{\nu}k_{\alpha}'\big]} = 0 \\ = -8C_{S}^{2}m_{N}^{2}\alpha_{S}m_{e}4\big(s_{R}\cdot k'\big) - 8C_{V}^{2}m_{N}^{2}\alpha_{V}m_{e}4\big(2s_{R}^{0}E_{\nu} - s_{R}\cdot k'\big) - \\ -8(\alpha_{S}-\alpha_{V})C_{S}C_{V}m_{N}^{2}4\big(s_{R}\sqrt{k}E_{\nu} - k\cdot k's_{R}^{0} + E_{e}s_{R}\cdot k'\big) \end{split}$$

- Ricordiamo la proprietà del vettore $s^{\mu}\!\!:\,s_R\!\!\cdot\! k=0$
- ullet Per finire, ricordiamo che $s_R,\,k,\,k'$ sono
 - Introduciamoli nel calcolo

$$s_R = \left(\frac{|\mathbf{k}|}{m_e}, \frac{E_e}{m_e} \frac{\mathbf{k}}{|\mathbf{k}|}\right) \qquad k' = (E_e, \mathbf{k})$$

$$k' = (E_\nu, \mathbf{k}_\nu)$$

$$\begin{aligned} & \overline{\left| \mathfrak{M}_F^R \right|^2} - \overline{\left| \mathfrak{M}_F^L \right|^2} = -8C_S^2 m_N^2 \alpha_S 4E_{\nu} E_e \left(\beta_e - \cos \theta_{e\nu} \right) - 8C_V^2 m_N^2 \alpha_V 4E_{\nu} E_e \left(\beta_e + \cos \theta_{e\nu} \right) - 8C_V^2 m_N^2 \alpha_V 4E_{\nu} E_e \left(\beta_e + \cos \theta_{e\nu} \right) - 8C_V^2 m_N^2 \alpha_V 4E_{\nu} E_e \left(\beta_e + \cos \theta_{e\nu} \right) - 8C_V^2 m_N^2 \alpha_V 4E_{\nu} E_e \left(\beta_e + \cos \theta_{e\nu} \right) - 8C_V^2 m_N^2 \alpha_V 4E_{\nu} E_e \left(\beta_e + \cos \theta_{e\nu} \right) - 8C_V^2 m_N^2 \alpha_V 4E_{\nu} E_e \left(\beta_e + \cos \theta_{e\nu} \right) - 8C_V^2 m_N^2 \alpha_V 4E_{\nu} E_e \left(\beta_e + \cos \theta_{e\nu} \right) - 8C_V^2 m_N^2 \alpha_V 4E_{\nu} E_e \left(\beta_e + \cos \theta_{e\nu} \right) - 8C_V^2 m_N^2 \alpha_V 4E_{\nu} E_e \left(\beta_e + \cos \theta_{e\nu} \right) - 8C_V^2 m_N^2 \alpha_V 4E_{\nu} E_e \left(\beta_e + \cos \theta_{e\nu} \right) - 8C_V^2 m_N^2 \alpha_V 4E_{\nu} E_e \left(\beta_e + \cos \theta_{e\nu} \right) - 8C_V^2 m_N^2 \alpha_V 4E_{\nu} E_e \left(\beta_e + \cos \theta_{e\nu} \right) - 8C_V^2 m_N^2 \alpha_V 4E_{\nu} E_e \left(\beta_e + \cos \theta_{e\nu} \right) - 8C_V^2 m_N^2 \alpha_V 4E_{\nu} E_e \left(\beta_e + \cos \theta_{e\nu} \right) - 8C_V^2 m_N^2 \alpha_V 4E_{\nu} E_e \left(\beta_e + \cos \theta_{e\nu} \right) - 8C_V^2 m_N^2 \alpha_V 4E_{\nu} E_e \left(\beta_e + \cos \theta_{e\nu} \right) - 8C_V^2 m_N^2 \alpha_V 4E_{\nu} E_e \left(\beta_e + \cos \theta_{e\nu} \right) - 8C_V^2 m_N^2 \alpha_V 4E_{\nu} E_e \left(\beta_e + \cos \theta_{e\nu} \right) - 8C_V^2 m_N^2 \alpha_V 4E_{\nu} E_e \left(\beta_e + \cos \theta_{e\nu} \right) - 8C_V^2 m_N^2 \alpha_V 4E_{\nu} E_e \left(\beta_e + \cos \theta_{e\nu} \right) - 8C_V^2 m_N^2 \alpha_V 4E_{\nu} E_e \left(\beta_e + \cos \theta_{e\nu} \right) - 8C_V^2 m_N^2 \alpha_V 4E_{\nu} E_e \left(\beta_e + \cos \theta_{e\nu} \right) - 8C_V^2 m_N^2 \alpha_V 4E_{\nu} E_e \left(\beta_e + \cos \theta_{e\nu} \right) - 8C_V^2 m_N^2 \alpha_V 4E_{\nu} E_e \left(\beta_e + \cos \theta_{e\nu} \right) - 8C_V^2 m_N^2 \alpha_V 4E_{\nu} E_e \left(\beta_e + \cos \theta_{e\nu} \right) - 8C_V^2 m_N^2 \alpha_V 4E_{\nu} E_e \left(\beta_e + \cos \theta_{e\nu} \right) - 8C_V^2 m_N^2 \alpha_V 4E_{\nu} E_e \left(\beta_e + \cos \theta_{e\nu} \right) - 8C_V^2 m_N^2 \alpha_V 4E_{\nu} E_e \left(\beta_e + \cos \theta_{e\nu} \right) - 8C_V^2 m_N^2 \alpha_V 4E_{\nu} E_e \left(\beta_e + \cos \theta_{e\nu} \right) - 8C_V^2 m_N^2 \alpha_V 4E_{\nu} E_e \left(\beta_e + \cos \theta_{e\nu} \right) - 8C_V^2 m_N^2 \alpha_V 4E_{\nu} E_e \left(\beta_e + \cos \theta_{e\nu} \right) - 8C_V^2 m_N^2 \alpha_V 4E_{\nu} E_e \left(\beta_e + \cos \theta_{e\nu} \right) - 8C_V^2 m_N^2 \alpha_V 4E_{\nu} E_e \left(\beta_e + \cos \theta_{e\nu} \right) - 8C_V^2 m_N^2 \alpha_V 4E_{\nu} E_e \left(\beta_e + \cos \theta_{e\nu} \right) - 8C_V^2 m_N^2 \alpha_V 4E_{\nu} E_e \left(\beta_e + \cos \theta_{e\nu} \right) - 8C_V^2 m_N^2 \alpha_V 4E_{\nu} E_e \left(\beta_e + \cos \theta_{e\nu} \right) - 8C_V^2 m_N^2 \alpha_V 4E_{\nu} E_e \left(\beta_e + \cos \theta_{e\nu} \right) - 8C_V^2 m_N^2 \alpha_V 4E_{\nu} E_e \left(\beta_e + \cos \theta_{e\nu} \right) - 8C_V^2$$





• Ricordiamo che

$$\wp = rac{\int \left(\left| \mathfrak{M}^R \right|^2 - \left| \mathfrak{M}^L \right|^2
ight) d\Phi}{\int \left(\left| \mathfrak{M}^R \right|^2 + \left| \mathfrak{M}^L \right|^2
ight) d\Phi}$$

• Il numeratore (risultato del calcolo precedente) è

$$\overline{\left|\mathfrak{M}_{F}^{R}\right|^{2}} - \overline{\left|\mathfrak{M}_{F}^{L}\right|^{2}} = -8C_{S}^{2}m_{N}^{2}\alpha_{S}4E_{\nu}E_{e}\left(\beta_{e} - \cos\theta_{e\nu}\right) - 8C_{V}^{2}m_{N}^{2}\alpha_{V}4E_{\nu}E_{e}\left(\beta_{e} + \cos\theta_{e\nu}\right) - 8C_{V}^{2}m_{N}^{2}\alpha_{V}AE_{\nu}E_{e}\left(\beta_{e} + \cos\theta_{e\nu}\right) - 8C_{V}^{2}m_{N}^{2}\alpha_{V}AE_{\nu}E_{\nu}E_{e}\left(\beta_{e} + \cos\theta_{e\nu}\right) - 8C_{V}^{2}m_{N}^{2}\alpha_{V}AE_{\nu}E_{\nu}E_{\nu}E_{\nu}E_{$$

• L'integrale sulle direzioni dell'elettrone e del neutrino elimina i termini dipendenti da $\cos\theta_{ev}$

- ullet Per quel che riguarda il denominatore notiamo che i termini \mathfrak{M}^R e \mathfrak{M}^L contengono rispettivamente $\frac{1}{2}(1-\gamma^5 \rlap/s_R)$ $\frac{1}{2}(1+\gamma^5 \rlap/s_R)$ • La somma di questi due termini è pertanto 1 contengono rispettivamente
- Il denominatore (integrato sulle direzioni) risulta uguale al risultato trovato per la distribuzione dell'energia

$$16m_{N}^{2}E_{e}E_{\nu}\left[C_{S}^{2}\left(1+\alpha_{S}^{2}\right)+C_{V}^{2}\left(1+\alpha_{V}^{2}\right)\right]$$

ullet Abbiamo usato il risultato sperimentale che l'interferenza di Fierz è 0

· La polarizzazione degli elettroni è pertanto

$$\wp = \frac{-8C_S^2 m_N^2 \alpha_S 4E_{\nu} E_e \beta_e - 8C_V^2 m_N^2 \alpha_V 4E_{\nu} E_e \beta_e}{16m_N^2 E_e E_{\nu} \left[C_S^2 \left(1 + \alpha_S^2 \right) + C_V^2 \left(1 + \alpha_V^2 \right) \right]}$$

$$\wp = -\beta_e \frac{2C_S^2 \alpha_S + 2C_V^2 \alpha_V}{C_S^2 (1 + \alpha_S^2) + C_V^2 (1 + \alpha_V^2)}$$

- Vedremo fra poco che gli studi sperimentali della polarizzazione degli elettroni hanno mostrato che $\wp = -\beta_e$
 - Pertanto le misure sperimentali richiedono che

$$\frac{2C_S^2\alpha_S + 2C_V^2\alpha_V}{C_S^2\left(1 + \alpha_S^2\right) + C_V^2\left(1 + \alpha_V^2\right)} = 1 \qquad 2C_S^2\alpha_S + 2C_V^2\alpha_V = C_S^2\left(1 + \alpha_S^2\right) + C_V^2\left(1 + \alpha_V^2\right)$$

$$C_S^2\left(1 + \alpha_S^2\right) - 2C_S^2\alpha_S + C_V^2\left(1 + \alpha_V^2\right) - 2C_V^2\alpha_V = 0$$

$$C_S^2\left(1 - \alpha_S^2\right)^2 + C_V^2\left(1 - \alpha_V^2\right)^2 = 0$$

- Ricordiamo che dalla misura della distribuzione dell'energia si conclude che il termine di interferenza di Fierz è assente
 - L'implicazione di questo risultato sulle costanti di accoppiamento è

$$C_S C_V \left(1 - \alpha_S \alpha_V \right) = 0$$

- · Abbiamo già notato non possiamo trarre conclusioni solo da questo risultato
- D'altro canto, dalla misura delle correlazioni angolari

$$a_F = rac{C_V^2 \left(1 + lpha_V^2\right) - C_S^2 \left(1 + lpha_S^2\right)}{C_V^2 \left(1 + lpha_V^2\right) + C_S^2 \left(1 + lpha_S^2\right)} = 1$$

Questo risultato implica

$$C_V^2 + \alpha_V^2 - C_S^2 (1 + \alpha_S^2) = C_V^2 (1 + \alpha_V^2) + C_S^2 (1 + \alpha_S^2) - C_S^2 (1 + \alpha_S^2) = + C_S^2 (1 + \alpha_S^2)$$

- Da cui, come prima dell'introduzione della violazione della parità $C_S=0$
- · Combinando questo risultato con la misura della polarizzazione

$$C_V^2 (1 - \alpha_S)^2 + C_V^2 (1 - \alpha_V)^2 = 0 \qquad C_V^2 (1 - \alpha_V)^2 = 0 \qquad \alpha_V = 1$$

Misura della Polarizzazione

- Per misurare la polarizzazione di un elettrone occorre chiedersi se ci sono effetti misurabili dipendenti dalla polarizzazione nella interazione di un elettrone o con un campo coulombiano o con un elettrone atomico
- Fra i metodi principali
 - Mott scattering
 - Scattering con il campo Coulombiano del nucleo di un atomo pesante
 - Sensibile solo polarizzazione trasversale alla direzione di moto
 - Møller scattering
 - Interazione dell'elettrone che si vuole analizzare con un elettrone atomico
 - L'elettrone atomico deve essere polarizzato
 - Bhabha scattering
 - Come il precedente ma per analizzare la polarizzazione di positroni
- Analizzeremo solo un esperimento che usa il primo metodo
 - Purtroppo lo scattering Coulombiano dipende dalla polarizzazione solo al secondo ordine dell'approssimazione di Born
 - L'effetto è piccolo: si usano nuclei pesanti (alto Z)
 - Inoltre, come già osservato, è sensibile solo ad una polarizzazione trasversale

- Come trasformare la polarizzazione longitudinale in trasversale?
 - Ovviamente con un campo elettromagnetico
- Per descrivere l'effetto di un campo elettromagnetico classico sullo spin di una particella si può utilizzare l'equazione semiclassica (Bargman, Michel, Telegdi)

$$\hbar \frac{ds^{\mu}}{d\tau} = 2 \mathfrak{m} F^{\mu \nu} s_{\nu} - 2 u^{\mu} \mathfrak{m}' F^{\nu \lambda} u_{\nu} s_{\lambda}$$

$$\mathfrak{m}'$$

$$\mathfrak{m}'$$

$$\mathfrak{m}'$$

$$\mathfrak{m}'$$

$$\mathfrak{m}'$$

$$\mathfrak{m}'$$
 momento magnetico



momento magnetico anomalo

- L'equazione descrive il moto del vettore di polarizzazione s^μ sotto l'effetto di un campo elettromagnetico
 - Il campo non deve essere troppo intenso
 - Vale per qualunque campo "macroscopico"
 - Solo per campi a livello microscopico potrebbe essere non valida
- È più intuitivo utilizzare una equazione che descriva il moto del vettore ξ nel sistema di riposo istantaneo della particella
 - In questo sistema l'equazione diventa (possiamo assumere $\mathfrak{m}'=0$)

$$\hbar \frac{d\mathbf{\xi}}{dt} = \frac{2\mathbf{m}}{\gamma} \mathbf{\xi} \times \mathbf{B} + \frac{2\mathbf{m}}{\gamma + 1} \mathbf{\xi} \times (\mathbf{E} \times \mathbf{\beta})$$

• †Landau, Lifshitz - Quantum Electrodynamics §41p,151 - Pergamon Press 1982

- Il sistema utilizzato per ruotare la polarizzazione per elettroni di bassa energia fu inventato nel 1951 da Tolhoek e de Groot
 - ullet Una guida circolare realizza un campo elettrico radiale (B=0)
 - Gli elettroni di energia opportuna seguono una trajettoria circolare
 - Il campo elettrico fornisce una forza centripeta
- Se l'energia dell'elettrone non è elevata ($\gamma pprox 1$)
 - Il moto è praticamente non relativistico
 - Vedremo che la polarizzazione non risente del campo elettrico
 - La direzione dello spin rimane invariata
- Se l'energia dell'elettrone è elevata $(\gamma\gg 1$)
 - Lo spin sente l'effetto del campo elettrico e precessa
- Calcoliamo adesso la rotazione del vettore polarizzazione senza assunzioni sulla velocità dell'elettrone

- Iniziamo calcolando il raggio dell'orbita in funzione del campo elettrico ${\bf E}$ e della velocità
 - · La legge di Newton

$$\frac{d\mathbf{p}}{dt} = e\mathbf{E}$$

- La variazione di quantità di moto dell'elettrone quando ha percorso una lunghezza $Rd\theta$ è $d\mathbf{p}=\mathbf{p}\,d\theta$
 - Pertanto $d\theta = \frac{\left| d\mathbf{p} \right|}{\left| \mathbf{p} \right|} = \frac{\left| \mathbf{F} \right| dt}{\left| \mathbf{p} \right|} = \frac{eEdt}{\left| \mathbf{p} \right|} = \frac{eEdt}{mc\gamma\beta}$
- La velocità angolare è

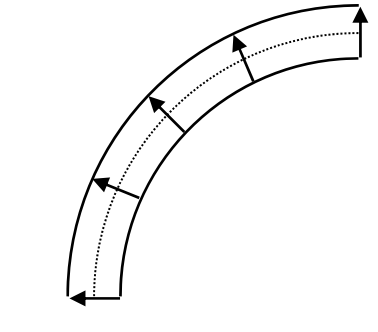
$$\omega_{\mathbf{p}} = \frac{d\theta}{dt} = \frac{eE}{mc\gamma\beta}$$

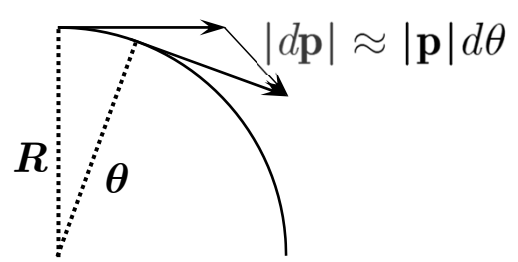
Il periodo

$$T = \frac{2\pi}{\omega_{\mathbf{p}}} = 2\pi \frac{mc\gamma\beta}{eE}$$

A questo punto calcoliamo il raggio dell'orbita

$$2\pi R = \beta c T = \frac{2\pi \beta m c^2 \gamma \beta}{eE}$$





 $R = \frac{mc^2}{eE} \gamma \beta^2$

- Studiamo adesso la precessione dello spin
 - Ricordiamo l'equazione Bargman, Michel, Telegdi

$$\hbar \frac{d\mathbf{\xi}}{dt} = \frac{2\mathbf{m}}{\gamma} \mathbf{\xi} \times \mathbf{B} + \frac{2\mathbf{m}}{\gamma + 1} \mathbf{\xi} \times (\mathbf{E} \times \mathbf{\beta})$$

$$\mathfrak{m} = \frac{e\hbar}{2mc}$$

• Per B=0 diventa

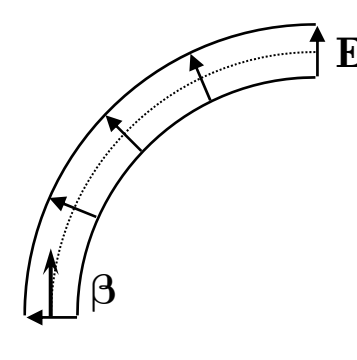
$$\hbar \frac{d\mathbf{\xi}}{dt} = \frac{2\mathbf{m}}{\gamma + 1} \mathbf{\xi} \times (\mathbf{E} \times \mathbf{\beta})$$

- Il vettore $\mathbf{E} \times \boldsymbol{\beta}$ è perpendicolare al piano individuato da \mathbf{E} e $\boldsymbol{\beta}$
- Il vettore $\xi \times (E \times \beta)$ è sul piano ed è perpendicolare a ξ
 - Riscriviamo l'equazione di BGT

$$rac{doldsymbol{\xi}}{dt}=oldsymbol{\xi} imesoldsymbol{\Omega}_{\!\xi}$$

- Descrive una precessione
 - Lo spin quindi precessa

$$\mathbf{\Omega}_{\xi} = \frac{2m}{\hbar (\gamma + 1)} \mathbf{E} \times \boldsymbol{\beta}$$



• La variazione dello spin $d\xi$ è sul piano

$$d\theta = \frac{|d\xi|}{|\xi|} = \frac{\left|\xi \times \mathbf{\Omega}_{\xi}\right|}{|\xi|} dt \quad \frac{d\theta}{dt} = \omega_{\xi} = \left|\mathbf{\Omega}_{\xi}\right| = \frac{2\mathfrak{m}}{\hbar (\gamma + 1)} |\mathbf{E}| |\mathbf{\beta}| \quad = \frac{2e\hbar}{\hbar 2mc(\gamma + 1)} |\mathbf{E}| \beta$$

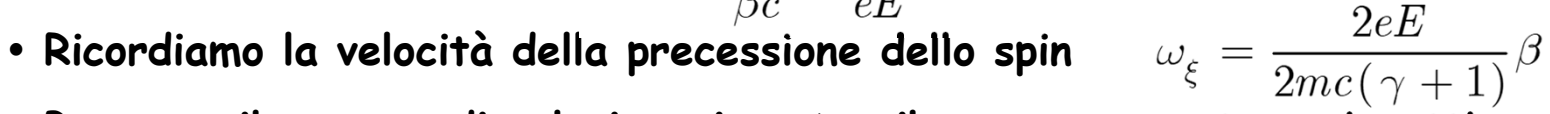
$$\omega_{\xi} = \frac{2eE}{2mc(\gamma+1)}\beta$$

• Supponiamo adesso che l'elettrone abbia percorso un tratto $\Delta \ell$ dell'arco

$$\Delta \ell = R \Delta \alpha = \frac{mc^2}{eE} \gamma \beta^2 \Delta \alpha$$

- · Vogliamo calcolare l'angolo fra
 - La quantità di moto p
 - Il vettore di polarizzazione ξ
- ullet Per percorrere la distanza $\Delta\ell$ l'elettrone impiega un tempo

$$\Delta T = \frac{\Delta \ell}{\beta c} = \frac{mc}{eE} \gamma \beta \Delta \alpha$$



$$\omega_{\xi} = \frac{2eE}{2mc(\gamma + 1)}\beta$$

 $R = \frac{mc^2}{eE} \gamma \beta^2$

ullet Pertanto il vettore di polarizzazione ξ e il vettore ${f p}$ ruotano rispettivamente

$$\Delta\theta_{\mathbf{p}} = \Delta\alpha \qquad \Delta\theta_{\xi} = \omega_{\xi}\Delta T = \frac{eE}{mc(\gamma + 1)}\beta \frac{mc}{eE}\gamma\beta\Delta\alpha = \frac{\gamma\beta^{2}}{(\gamma + 1)}\Delta\alpha$$

• Eliminiamo β

$$\frac{1}{\gamma+1} = \frac{\gamma-1}{\gamma^2-1} = \frac{\gamma-1}{\frac{1}{1-\beta^2}-1} = \frac{\gamma-1}{\gamma^2\beta^2}$$

Sostituendo

$$\Delta \theta_{\xi} = \frac{\gamma - 1}{\gamma} \Delta \alpha$$

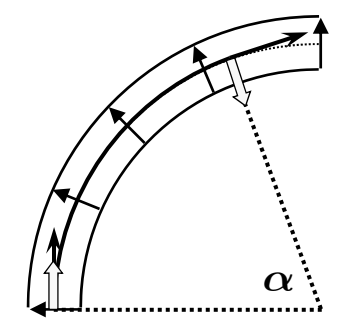
• Pertanto dopo aver percorso uno spazio $\Delta \ell = R \Delta lpha$ l'angolo fra i due vettori è

$$\Delta \theta_{\mathbf{p}\xi} \equiv \Delta \theta_{\mathbf{p}} - \Delta \theta_{\xi} = \left(1 - \frac{\gamma - 1}{\gamma}\right) \Delta \alpha$$

$$\Delta \theta_{\mathbf{p}\xi} = \frac{\Delta \alpha}{\gamma}$$

 Pertanto, affinché la quantità di moto e lo spin siano perpendicolari deve essere

$$\Delta\theta_{\mathbf{p}\xi} = \frac{\pi}{2} = \frac{\Delta\alpha}{\gamma}$$

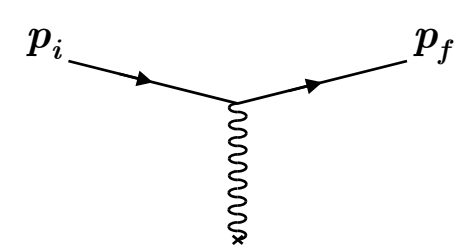


- Dato un elettrone di energia $mc^2\gamma$ la guida deve avere una lunghezza $R\Deltalpha$
- L'angolo $\Delta lpha$ è dato da

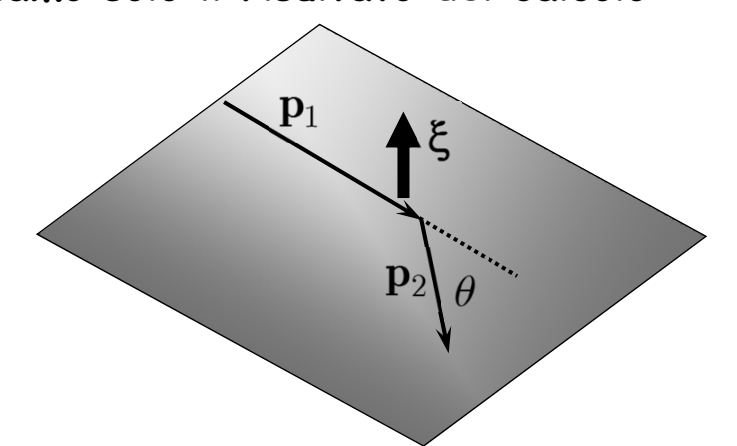
$$\Delta \alpha = \gamma \frac{\pi}{2}$$

Sezione d'urto Mott

- La sezione d'urto Mott è relativa all'interazione di un elettrone con il campo Coulombiano
 - Il bersaglio ha massa infinita
 - Si tiene conto dello spin dell'elettrone con la teoria di Dirac



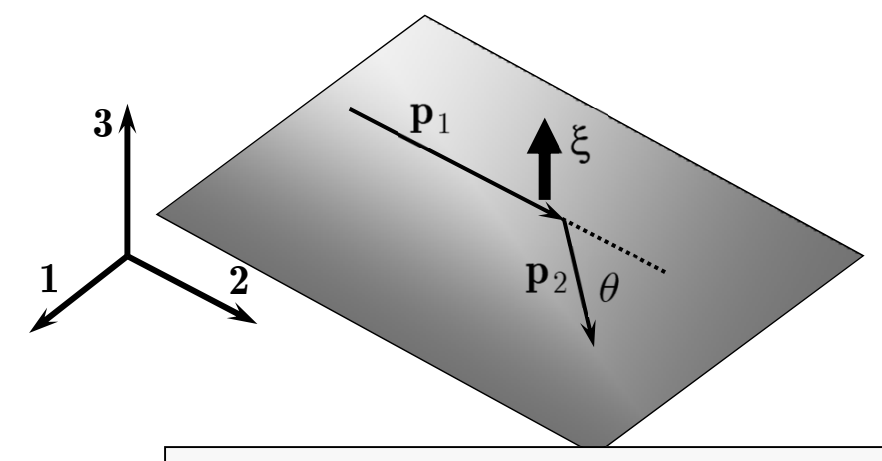
- · Abbiamo fatto questo calcolo al primo ordine della teoria perturbativa
 - A questo ordine non appaiono effetti legati alla polarizzazione
 - Una dipendenza dalla polarizzazione compare al secondo ordine[†]
- Diamo solo il risultato del calcolo



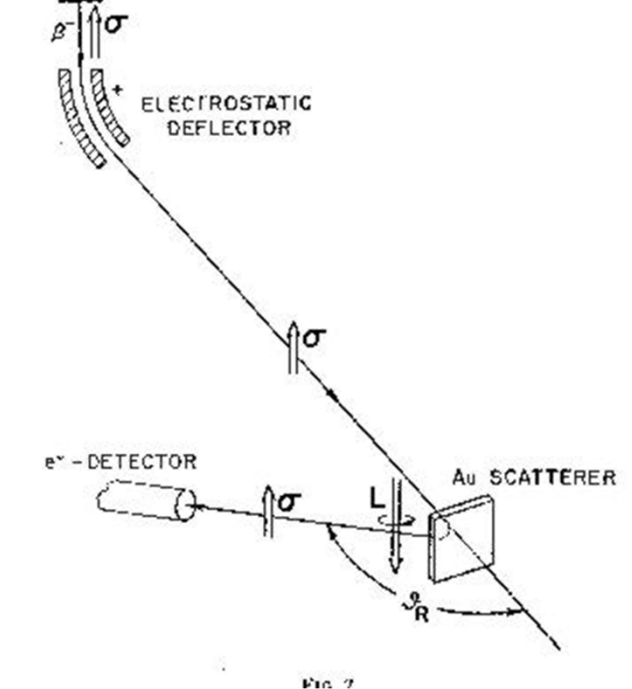
$$\sigma\!\left(heta, \mathbf{\xi}
ight) \sim I\!\left(heta
ight) + rac{D\!\left(heta
ight)}{\left|\sin heta
ight|} \widehat{\mathbf{p}}_{1} imes \widehat{\mathbf{p}}_{2} \cdot \mathbf{\xi}$$

- Per le funzioni $I(\theta)$ e $D(\theta)$ vedi Landau †
- †vedi Landau Lifshitz Quantum Electrodynamics 12.1 pag 534

• La figura mostra schematicamente l'apparato dell'esperimento di Frauenfelder per la misura della polarizzazione degli elettroni di un decadimento β



$$\sigmaig(heta,oldsymbol{\xi}ig) \sim Iig(hetaig) + rac{Dig(hetaig)}{\left|\sin heta
ight|}\widehat{\mathbf{p}}_{1} imes\widehat{\mathbf{p}}_{2}\cdotoldsymbol{\xi}$$



• Notiamo che se l'angolo di deflessione heta va a sinistra il prodotto vettoriale $\widehat{\mathbf{p}}_1 imes \widehat{\mathbf{p}}_2$ cambia segno (cambia il segno della componente 1 di p_2)

$$\left(\widehat{\mathbf{p}}_{1}\times\widehat{\mathbf{p}}_{2}\right)_{3}=\varepsilon_{3jk}p_{1}^{j}p_{2}^{k}=\varepsilon_{321}p_{1}^{2}p_{2}^{1}$$

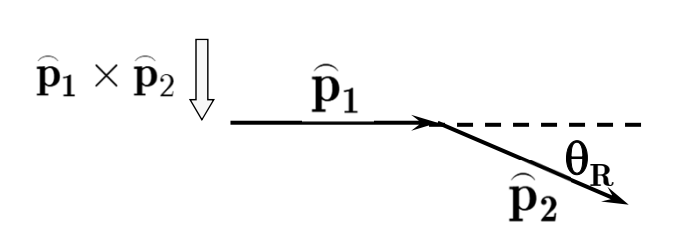
- Supponiamo adesso che gli elettroni siano completamente polarizzati
 - In un caso paralleli alla quantità di moto (RH)
 - Nell'altro caso antiparalleli (LH)
- Dopo la rotazione gli elettroni sono ancora completamente polarizzati
 - Nel primo caso verso l'alto
 - Nel secondo verso il basso
- Ricordiamo la formula della sezione d'urto

$$oxed{\sigmaig(heta,m{\xi}ig)\sim Iig(hetaig)+rac{Dig(hetaig)}{\left|\sin heta
ight|}\widehat{f p_1} imes\widehat{f p}_2\cdotm{\xi}}$$

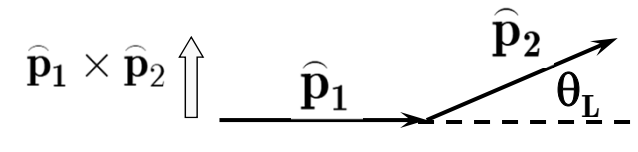
- Le misure da fare sono
 - La sezione d'urto per un angolo θ_R

• Spin up
$$\sigma(\theta_R, \uparrow) \sim I(\theta_R) - D(\theta_R)$$
 ξ

• Spin down
$$\sigma(\theta_R, \Downarrow) \sim I(\theta_R) + D(\theta_R)$$
] ξ



- La sezione d'urto per un angolo $heta_L$ opposto a $heta_R$
 - Spin up $\sigma(heta_L, \Uparrow) \sim I(heta_L) + D(heta_L)$ f ξ $\widehat{\mathbf{p}}_1 imes \widehat{\mathbf{p}}_2 \widehat{\Uparrow}$ $\widehat{\mathbf{p}}_1$
 - Spin down $\sigma(\theta_L, \Downarrow) \sim I(\theta_L) D(\theta_L)$ § ξ



- Nell'esperimento gli elettroni non sono completamente polarizzati
 - La misura della polarizzazione \wp è l'obbiettivo dell'esperimento
 - La polarizzazione degli elettroni è data da
 - N_+ polarizzati up (probabilità $rac{N_+}{N}$)
 - N_- polarizzati down (probabilità $rac{N_-}{N}$)
- La sezione d'urto osservata per un angolo θ_R è

$$\sigma\!\left(\theta_{R}^{}\right) = \frac{N_{+}^{}}{N} \sigma\!\left(\theta_{R}^{}, \uparrow\right) + \frac{N_{-}^{}}{N} \sigma\!\left(\theta_{R}^{}, \downarrow\right)$$

$$\sigma\left(heta_{R}
ight) \sim I\left(heta_{R}
ight) - \wp D\left(heta_{R}
ight)$$

 $\wp = rac{N_+ - N_-}{N_+ + N_-} \quad N = N_+ + N_-$

• Analogamente, per un angolo $heta_L$ si osserva

$$\sigma(\theta_L) = \frac{N_+}{N} \sigma(\theta_L, \uparrow) + \frac{N_-}{N} \sigma(\theta_L, \downarrow)$$

$$\sigma(heta_L) \sim I(heta_L) + \wp D(heta_L)$$

• Definiamo l'asimmetria δ

$$\delta = \frac{\sigma(\theta_L) - \sigma(\theta_R)}{\sigma(\theta_L) + \sigma(\theta_R)}$$

Ci mettiamo nella condizione

$$\theta_R = -\theta_L \equiv \theta$$

• Si può verificare che

$$I(\theta) = I(-\theta)$$

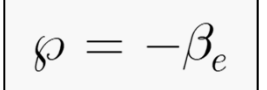
$$D(\theta) = D(-\theta)$$

$$\delta = \frac{D(\theta)}{I(\theta)} \wp \equiv S(\theta) \wp$$

• $S(\theta)$ è noto: la misura di δ permette di misurare \wp

$$\delta = \frac{D(\theta)}{I(\theta)} \wp \equiv S(\theta) \wp$$

- Osservazioni
 - $S(\theta)$ dipende anche dall'energia dell'elettrone
 - È necessario che gli angoli θ_R e θ_L siano perfettamente simmetrici
 - L'esperimento è sensibile solo alla polarizzazione trasversale
 - Un errore nella rotazione dello spin porta ad un errore sistematico su \wp
 - ullet L'effetto aumenta al crescere di Z
 - Si usano metalli pesanti come l'oro
- Per ottimizzare l'esperimento si può cercare l'angolo al quale l'effetto è più grande
- Occorre però tenere presente che al crescere dell'angolo la sezione d'urto diminuisce
 - Occorre trovare un compromesso tra la dimensione dell'effetto misurato e l'errore statistico con cui esso viene determinato
- La tabella mostra i risultati del primo esperimento
 - ullet Con esperimenti successivi $|\wp = -eta_e|$



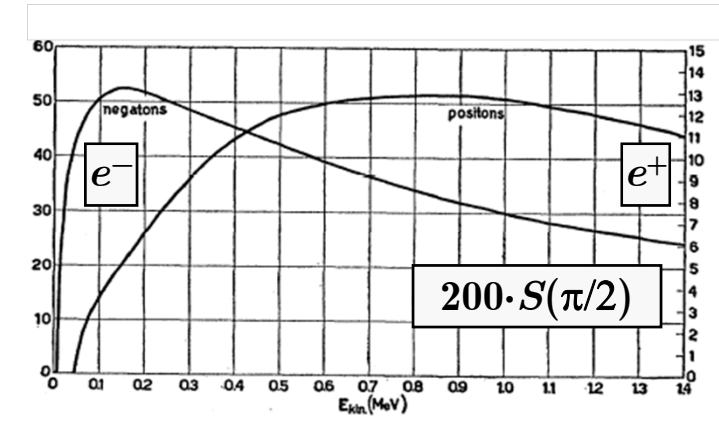


Table I. The polarization of electrons from Co.

$\beta = v/c$	Gold scat- tering foil mg/cm ²	Left-right asymmetry L/R	Longitudinal polarization $\stackrel{P}{P}$
0.41	0.15	1.03 ± 0.03	-0.04
0.47	0.15	1.13 ± 0.02	-0.16
0.49	0.05	1.35 ± 0.06	-0.40
0.49	0.15	1.30 ± 0.09	-0.35
	0.41 0.47 0.49	β = v/c tering foil mg/cm² 0.41 0.15 0.47 0.15 0.49 0.05	$\begin{array}{c ccccccccccccccccccccccccccccccccccc$

Determinazione di C_A e C_V

• Abbiamo già visto che la misura della vita media di nuclei permette di determinare la costante di accoppiamento $G_{\!\scriptscriptstyleeta}$

$$\lambda_F = rac{1}{ au} = rac{G_eta^2}{2\pi^3} \xi f$$

ullet Tuttavia, il parametro ξ contiene una dipendenza dal rapporto C_A/C_V

$$\xi = |\langle 1 \rangle|^2 + \frac{C_A^2}{C_V^2} \overline{|\langle \sigma \rangle|^2}$$

• I decadimenti di Fermi contengono solo il termine <1> e permettono pertanto la determinazione di $G_{\beta}{}^{\dagger}$ senza ulteriori informazioni

$$G_{\beta} = 1.13578 \pm 0.00027 \times 10^{-5} \,\mathrm{GeV^{-2}}$$

• Ulteriori misure di su transizioni di Gamov-Teller o miste permettono la determinazione di $|C_A/C_V|$

$$\left| \frac{C_A}{C_V} \right| = 1.2695 \pm 0.0029$$

†Blucher, Marciano PDG 2006 J. Phys. G 33 pag. 677
 Ceccucci, Ligeti, Sakai PDG 2006 J. Phys. G 33 pag. 138

Determinazione di C_A e C_V

- Il segno relativo delle due costanti si può determinare con la misura di una grandezza osservabile che dipenda dal prodotto $C_A \cdot C_V$ e quindi dall'interferenza fra termini di Fermi e Gamov-Teller
 - Occorre pertanto studiare transizioni di nuclei polarizzati
- Per nuclei non polarizzati l'elemento di matrice contiene il termine $1+a\beta_e\cdot\beta_{
 u}$
 - Osservabili che dipendono dal vettore di polarizzazione del nucleo σ contengono termini del tipo

$$1 + a\beta_e \cdot \beta_{\nu} + b\hat{\sigma} \cdot \beta_e + c\hat{\sigma} \cdot \beta_{\nu}$$

• Per neutroni polarizzati si trova

$$b = -2\frac{C_A^2 + C_V C_A}{C_V^2 + 3C_A^2} \quad c = 2\frac{C_A^2 - C_V C_A}{C_V^2 + 3C_A^2}$$

• Misure di correlazione angolare fra la direzione dell'elettrone (o del neutrino) e lo spin nucleare mostrano che il segno relativo è positivo

$$\frac{C_A}{C_V} = +1.2695 \pm 0.0029$$

L'Hamiltoniana del Decadimento eta

- Gli esperimenti descritti hanno permesso la determinazione della forma dell'Hamiltoniana del decadimento eta
 - · Sono stati esclusi i termini Scalare e Tensoriale

$$C_S = C_T = 0$$

• Sono state determinate le costanti degli accoppiamenti Vettoriale e Assiale

$$G_{\beta} = GC_{V}$$
 $\frac{C_{A}}{C_{V}} = \kappa$ $\alpha_{V} = \alpha_{A} = 1$

ullet L'Hamiltoniana pertanto contiene solo i termini V e A

$$\mathcal{H}_{I}' = Gig[C_{V}ig(\,\overline{\psi}_{p}\gamma^{\mu}\psi_{n}\,ig)ig(\,\overline{\psi}_{e}\,ig(1+\gamma^{5}\,ig)\gamma_{\mu}\psi_{
u}\,ig) + C_{A}ig(\,\overline{\psi}_{p}\gamma^{5}\gamma^{\mu}\psi_{n}\,ig)ig(\,\overline{\psi}_{e}\,ig(1+\gamma^{5}\,ig)\gamma^{5}\gamma_{\mu}\psi_{
u}\,ig)ig]$$

• Il termine assiale può essere semplificato utilizzando $(\gamma^5)^2=I$

$$\mathcal{H}_{I}' = G\left[C_{V}\left(\overline{\psi}_{p}\gamma^{\mu}\psi_{n}\right)\left(\overline{\psi}_{e}\left(1+\gamma^{5}\right)\gamma_{\mu}\psi_{\nu}\right) + C_{A}\left(\overline{\psi}_{p}\gamma^{5}\gamma^{\mu}\psi_{n}\right)\left(\overline{\psi}_{e}\left(1+\gamma^{5}\right)\gamma_{\mu}\psi_{\nu}\right)\right]$$

• Infine raccogliamo la parte leptonica

$$\mathcal{H}_{I}' = G \left[C_{V} \left(\overline{\psi}_{p} \gamma^{\mu} \psi_{n} \right) + C_{A} \left(\overline{\psi}_{p} \gamma^{5} \gamma^{\mu} \psi_{n} \right) \right] \left(\overline{\psi}_{e} \left(1 + \gamma^{5} \right) \gamma_{\mu} \psi_{\nu} \right)$$

L'Hamiltoniana del Decadimento eta

$$\mathcal{H}_{I}' = G\left[C_{V}\left(\overline{\psi}_{p}\gamma^{\mu}\psi_{n}\right) + C_{A}\left(\overline{\psi}_{p}\gamma^{5}\gamma^{\mu}\psi_{n}\right)\right]\left(\overline{\psi}_{e}\left(1 + \gamma^{5}\right)\gamma_{\mu}\psi_{
u}\right)$$

Possiamo ulteriormente semplificare

$$\mathcal{H}_{I}^{\prime}=Gig(\overline{\psi}_{p}ig(C_{V}+C_{A}\gamma^{5}ig)\gamma^{\mu}\psi_{n}ig)ig(\overline{\psi}_{e}ig(1+\gamma^{5}ig)\gamma_{\mu}\psi_{
u}ig)$$

• E ancora

$$\mathcal{H}_{I}' = GC_{V}\left(\overline{\psi}_{p}\left(1 + \kappa\gamma^{5}\right)\gamma^{\mu}\psi_{n}\right)\left(\overline{\psi}_{e}\left(1 + \gamma^{5}\right)\gamma_{\mu}\psi_{
u}\right)$$

- Come abbiamo già detto $\kappa=1.27$ e GC_{V} $\equiv G_{eta}$
 - Il valore di κ diverso da $\mathbf 1$ dipende dal fatto che il nucleone non è una particella puntiforme
 - Il protone ha una struttura
 - Ritorneremo su questo punto in seguito
- ullet Per il momento trascuriamo questo aspetto e assumiamo $\kappa=1$

$$\mathcal{H}_{I}' = G_{\beta} \overline{\psi}_{p} \left(1 + \gamma^{5} \right) \gamma^{\mu} \psi_{n} \cdot \overline{\psi}_{e} \left(1 + \gamma^{5} \right) \gamma_{\mu} \psi_{\nu}$$

• In una notazione più moderna è diventato abituale spostare la matrice γ^μ a sinistra

$$\mathcal{H}_{I}^{\prime} = G_{eta} \overline{\psi}_{p} \gamma^{\mu} \left(1 - \gamma^{5}\right) \psi_{n} \cdot \overline{\psi}_{e} \gamma_{\mu} \left(1 - \gamma^{5}\right) \psi_{
u}$$

L'Hamiltoniana del Decadimento eta

- Definiamo due generiche correnti (sia adronica che leptonica)
 - Una corrente Vettoriale $J_V^\mu = ar{\psi} \gamma^\mu \psi$
 - Una corrente Assiale $J_A^\mu = ar{\psi} \gamma^\mu \gamma^5 \psi$
- Le due correnti (adronica e leptonica) compaiono nell'Hamiltoniana nella combinazione $J^\mu = J_V^\mu J_A^\mu.$
 - ullet È questa la famosa forma $V\!-\!A$ delle correnti deboli (cariche)
- Infine, per uniformarci alle notazioni maggiormente utilizzate ridefiniamo la costante di Fermi
 - La costante G è stata definita da Fermi prima della scoperta della violazione della parità
 - La generalizzazione dell'interazione di Fermi e l'introduzione della violazione della parità hanno condotto ad una Hamiltoniana che contiene due correnti $(V\!-\!A)$
 - Per mantenere la stessa definizione di Fermi è necessario dividere G per $\sqrt{2}$

$$\mathcal{H}_{I}' = \frac{G_{\beta}}{\sqrt{2}} \overline{\psi}_{p} \gamma^{\mu} \left(1 - \gamma^{5}\right) \psi_{n} \cdot \overline{\psi}_{e} \gamma_{\mu} \left(1 - \gamma^{5}\right) \psi_{\nu}$$